

# Gruppe 13 – B, Al, Ga, In, Th

<https://www.schulz.chemie.uni-rostock.de/lehre/vorlesungen-bachelor/anorganische-chemie-iv-ch17/>



Leibniz-Institut für Katalyse e.V.

LIKAT Rostock

# Übersicht

- 5. Metall/Elementorganische Verbindungen der Hauptgruppenelemente

<b>B</b>	<b>C</b>
2.0	2.55
<b>Al</b>	
1.6	
<b>Ga</b>	
1.8	
<b>In</b>	
1.8	
<b>Tl</b>	
1.6	

## » Erdmetalle

- Bororganyle (Synthese, Struktur, Bindung)
- Aluminiumorganyle
- Ga/In/Th-organyle

Wirtschaftliche Bedeutung groß

B und Al-Chemie dominieren

# Organyle der Erdmetalle/Borgruppe

## “Kovalente” Mehrzentrenbindungen

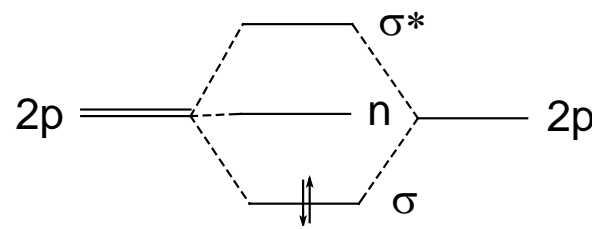
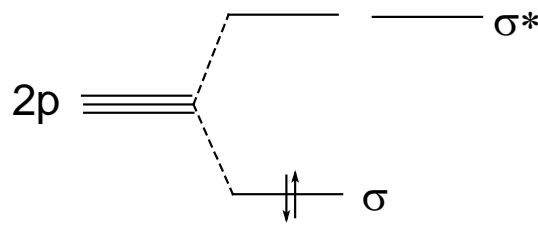
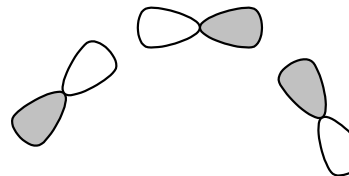
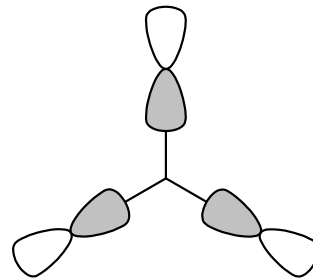
The diagram illustrates the periodic table with arrows pointing from the Boron group (Groups 13-17) to the transition metals (Groups 3-12). The Boron group is highlighted in blue, while the transition metals are highlighted in grey.

	(1) IA	(2) IIA	Hauptgruppen										(18) VIIIA					
1. Periode	1.0079 Wasserstoff 1H	6.941 Lithium 3Li	9.0122 Beryllium 4Be											4.0026 Helium 2He				
2. Periode	22.990 Natrium 11Na	24.305 Magnesium 12Mg												20.180 Neon 10Ne				
3. Periode	39.098 Kali um 19K	40.078 Calcium 20Ca	44.956 Scandiu m 21Sc	47.88 Titan 22Ti	50.942 Vanadiu m 23V	51.996 Chrom 24Cr	54.938 Mangan 25Mn	55.847 Eisen 26Fe	58.933 Cobalt 27Co	58.69 Nickel 28Ni	63.546 Kupfer 29Cu	65.39 Zink 30Zn	69.723 Galliu m 31Ga	72.61 Germaniu m 32Ge	74.922 Arsen 33As	78.96 Selen 34Se	79.904 Brom 35Br	83.80 Krypton 36Kr
4. Periode	85.468	87.62	88.906	91.224	92.906	95.94	98.906	101.07	102.91	106.42	107.87	112.41	114.82	118.71	121.75	127.60	126.90	131.29

- Es besteht eine enge Verknüpfung zur Chemie der Borhydride
- B-N-Verbindungen isoelektronisch zu C-C-Verbindungen
- Aluminiumorganyle dienen als Carbanionenüberträger (unschlagbar billig) und spielen eine Schlüsselrolle in großtechnischen Verfahren

# Bindungsverhältnisse

- neben der "klassischen" 2-Zentren-2-Elektronenbindung gibt es:



geschlossene 3-Zentren-2-Elektronenbindung  
 $D_{3h}$ -Symmetrie

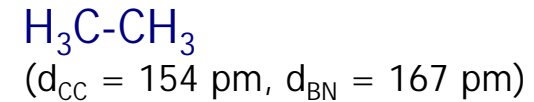
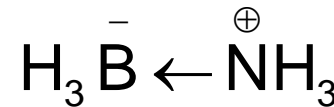
offene 3-Zentren-2-Elektronenbindung  
 $C_{2v}$ -Symmetrie

# Zum Vergleich: Bor-Stickstoff-Verbindungen

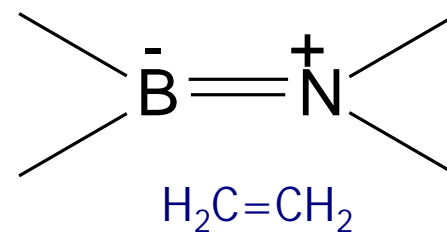
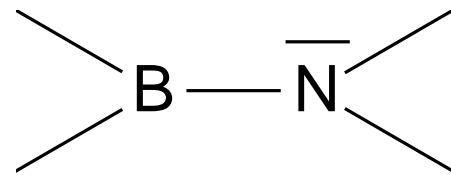
Bor-Amin-Addukte:

Lewis-Säure verbunden mit Lewis-Base

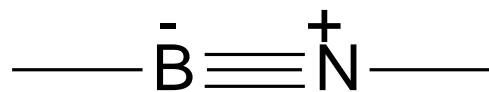
Problem: **Formalladung vs. Partialladung**



Aminoborane:

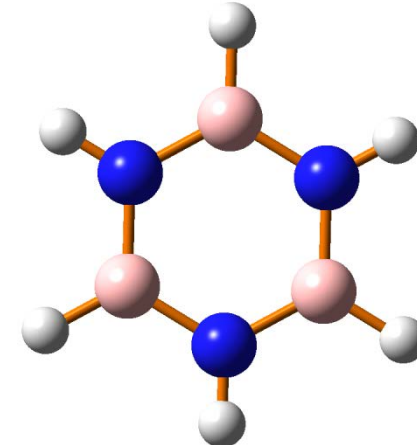
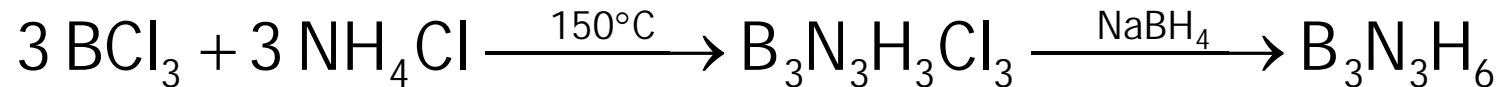


Iminoborane:



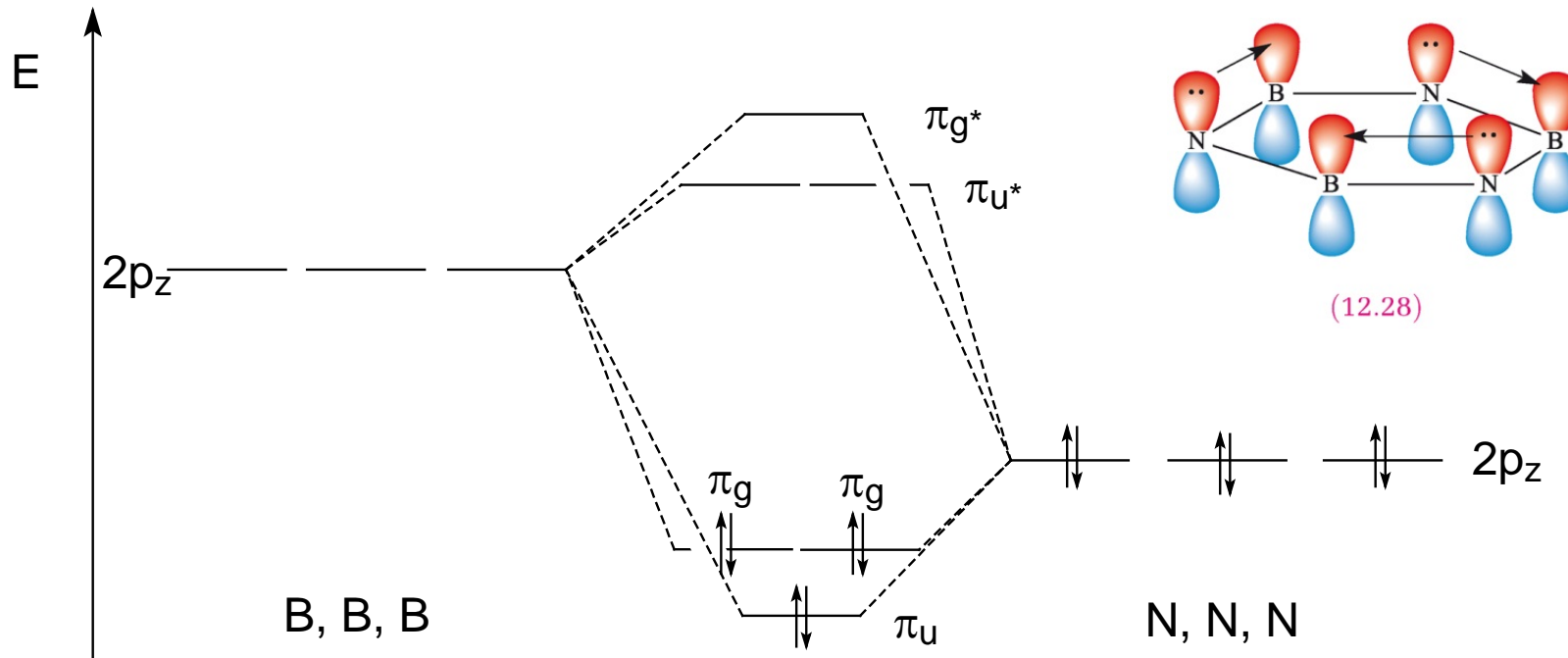
# Borazol (Borazin)

HB=NH ist unbeständig und oligomerisiert zum cyclischen  $(\text{HBNH})_3$

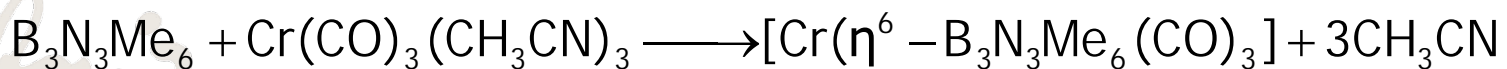


- farblose Flüssigkeit, aromatischer Geruch,
- $D_{3h}$ ,  $\angle \text{NBN} = 117^\circ$  und  $\angle \text{BNB} = 123^\circ$ ,
- stark polare Bindungen, im Gegensatz zu Benzol reaktiver: quasi-aromatisch
- Hydrolyse:  $\text{NH}_3$  und  $\text{B(OH)}_3$

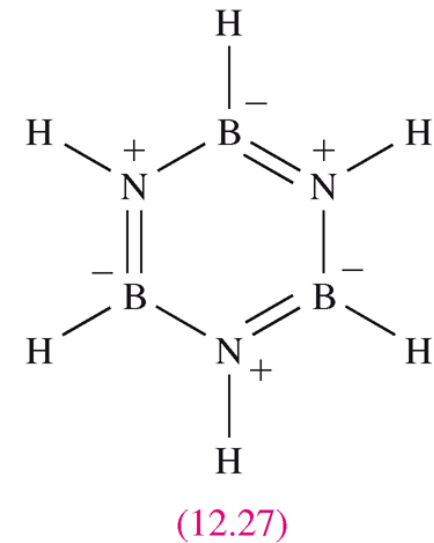
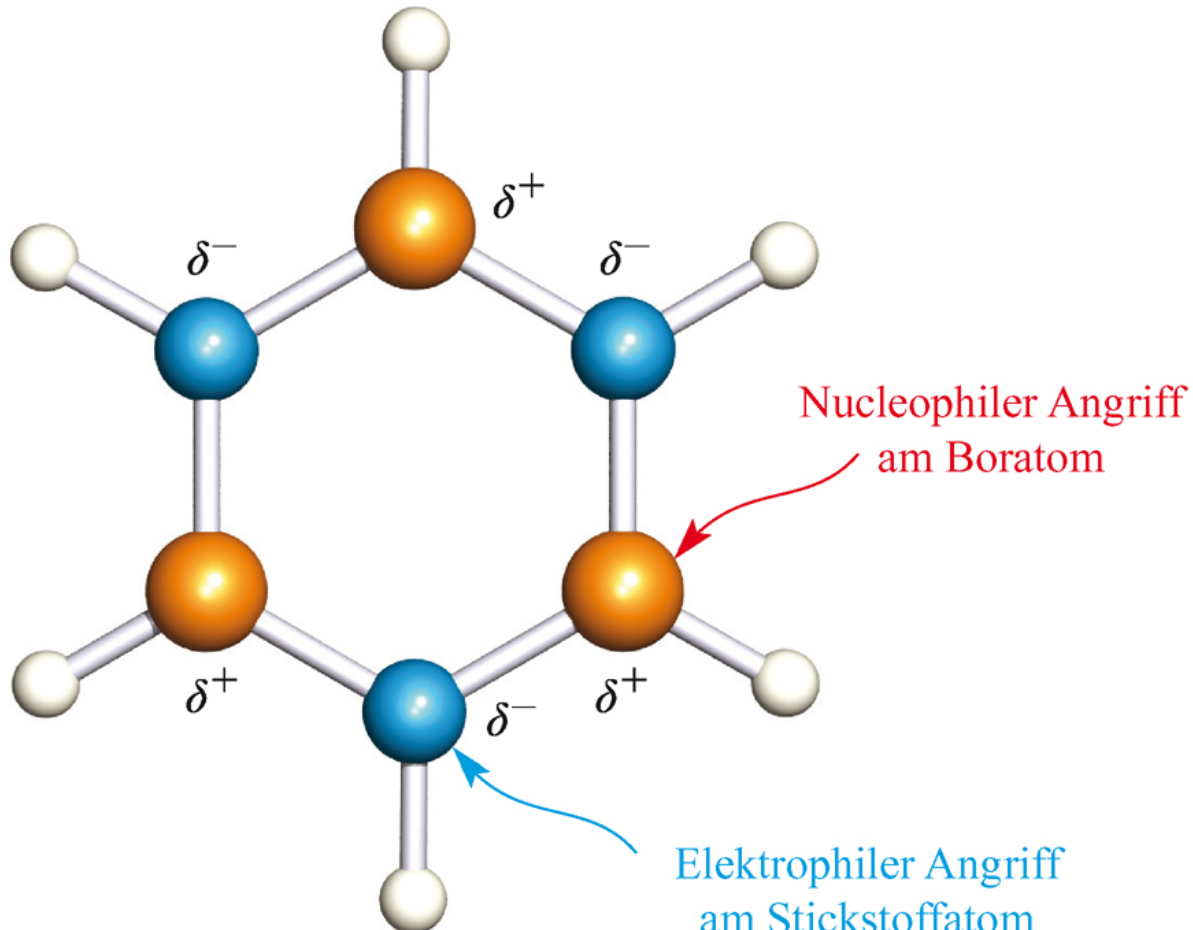
Energieniveaudiagramm für die MO's, die aus 3 2p<sub>z</sub> am Bor und entstehen.



Sandwich wie beim Benzol:

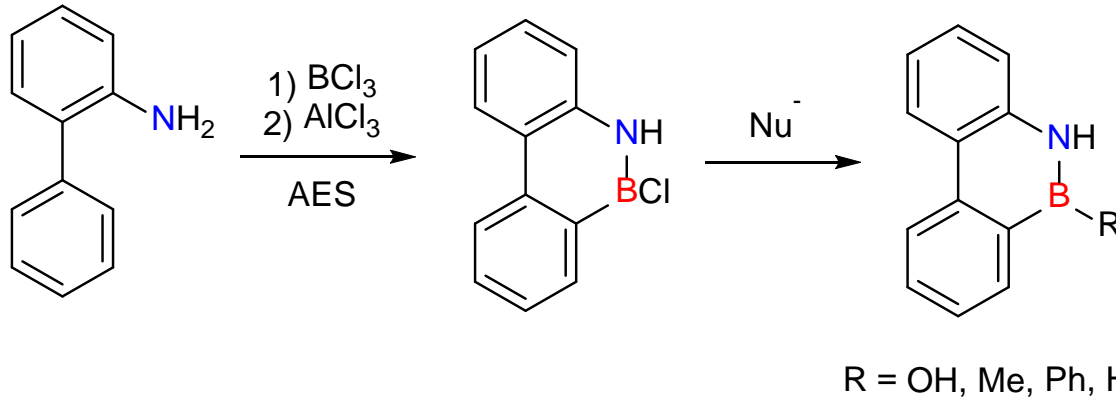


# Hydrolyse: Formal- vs. Partialladung

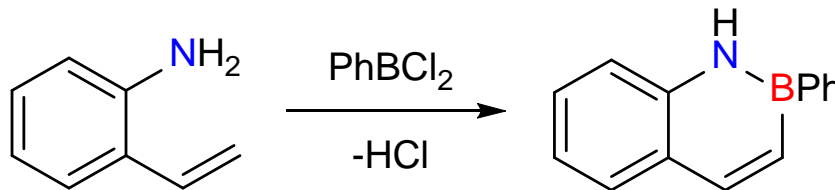


# Hybride Organisch/Anorganische Benzol-Derivate

- Erster Bericht eines aromatischen Systems mit 1,2-BN Einheit  
1958: 9,10-Azaboraphenatren, Dewar et al.



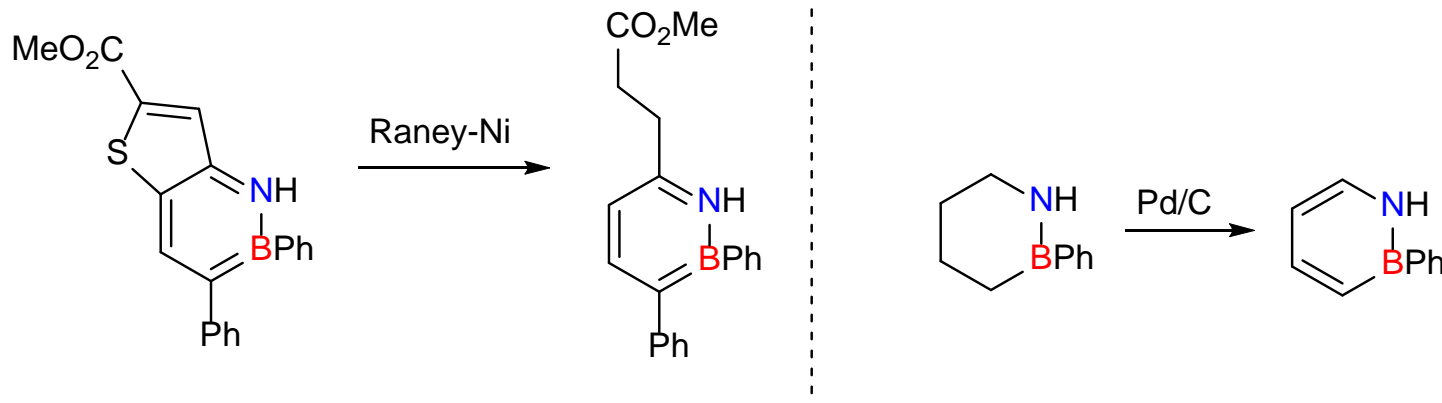
- 1959 dann das erste BN-Naphtalen:



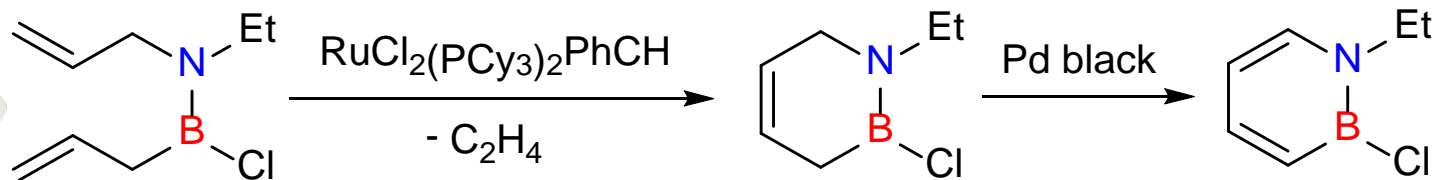
a) M. J. S. Dewar, V. P. Kubba, R. Pettit, *J. Chem. Soc.* **1958**, 3073; b) M. J. S. Dewar, *Tetrahedron* **1959**, 7, 213

# Hybride Organisch/Anorganische Benzol-Derivate

- 1962 dann das erste 1,2-Azaborin durch Dewar und White



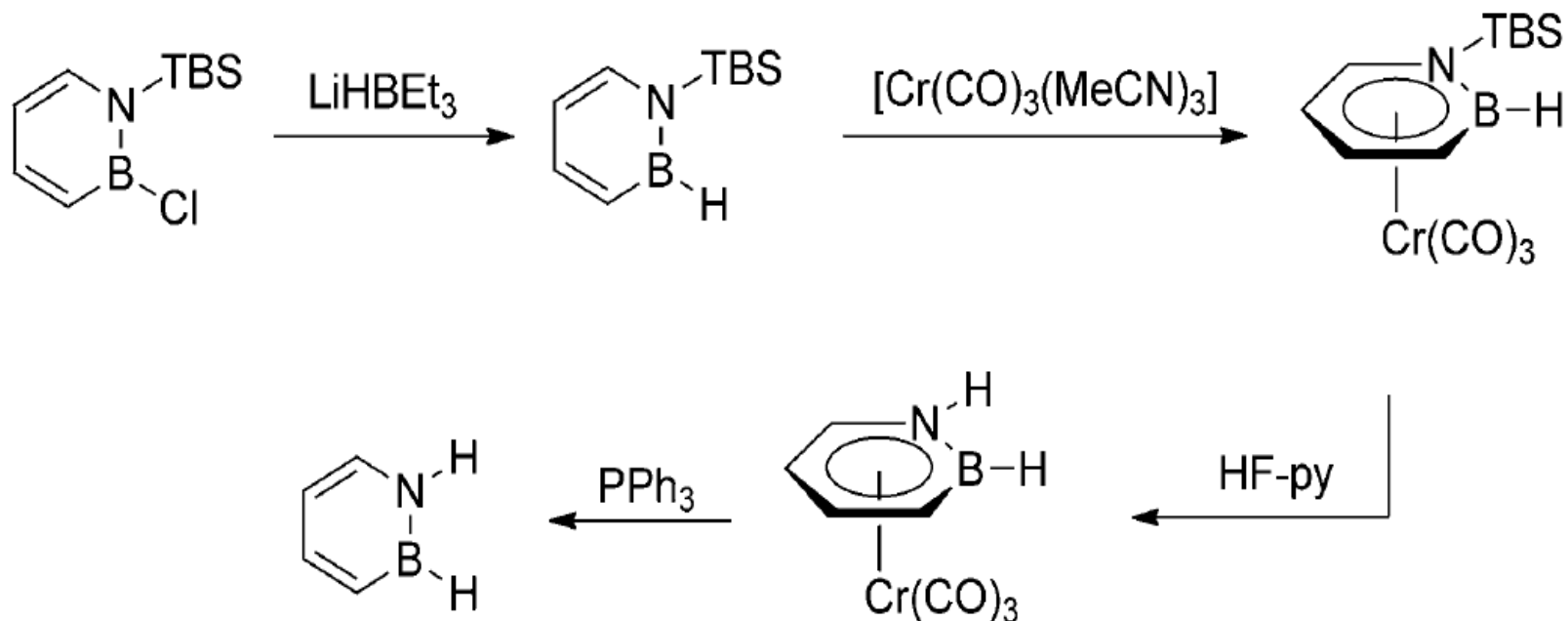
- Liu et al. nutzen ROMP zur Darstellung von funktionalisierten 1,2-Azaborinen



a) M. J. S. Dewar, P. A. Marr, *J. Am. Chem. Soc.* **1962**, *84*, 3782; b) A. J. V. Marwitz, E. R. Abbey, J. T. Jenkins, L. N. Zakharov, S.-Y. Liu, *Org. Lett.* **2007**, *9*, 4905

# Das 1,2-Dihydro-1,2-Azaborin

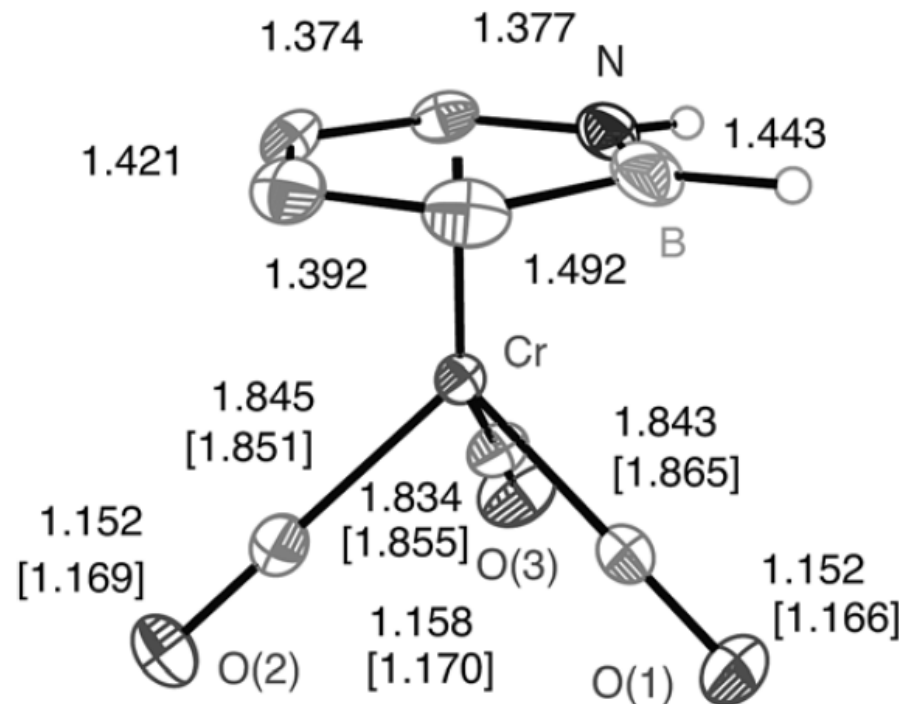
- 2009 Synthese des „Stamm“ 1,2-Dihydro-1,2-Azaborins



A. J. V. Marwitz, M. H. Matus, L. N. Zakharov, D. A. Dixon, S.-Y. Liu, *Angew. Chem. Int. Ed.* **2009**, *48*, 973.

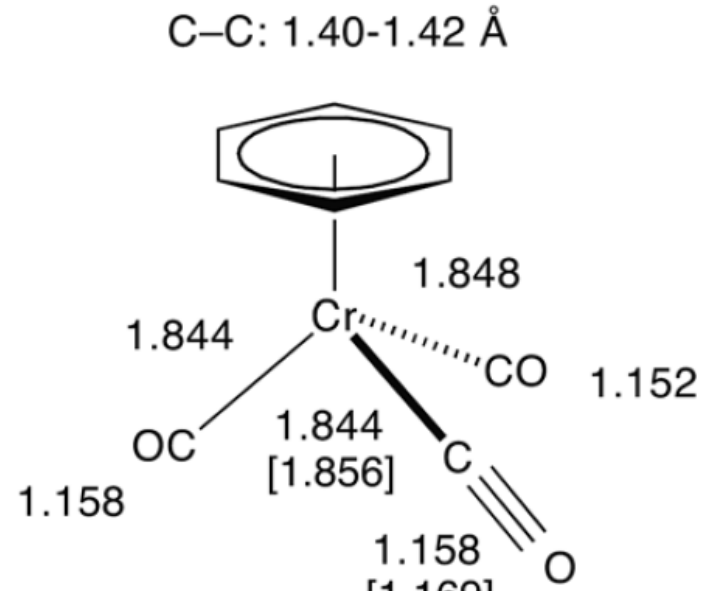
# Das 1,2-Dihydro-1,2-Azaborin

$\nu(\text{CO}) = 1898,1975 \text{ cm}^{-1}$



81

$\nu(\text{CO}) = 1892,1972 \text{ cm}^{-1}$

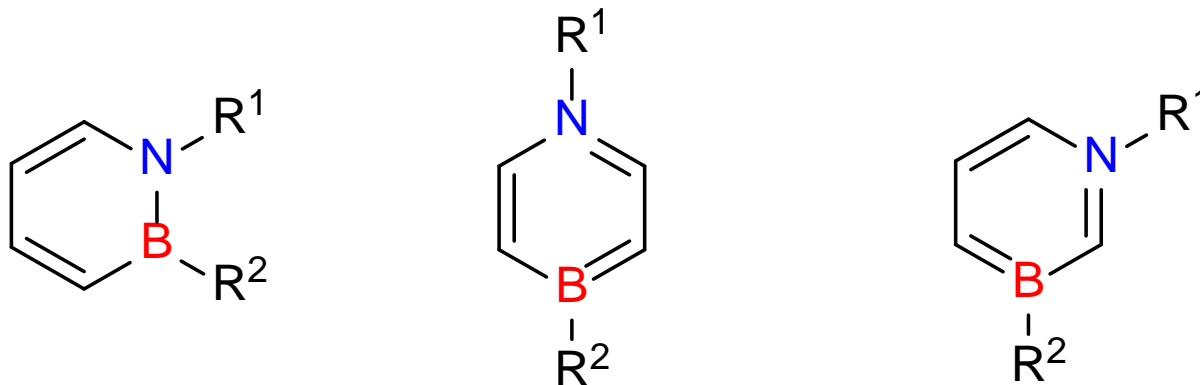


$[\text{Cr}(\text{CO})_3(\text{C}_6\text{H}_6)]$

A. J. V. Marwitz, M. H. Matus, L. N. Zakharov, D. A. Dixon, S.-Y. Liu, *Angew. Chem. Int. Ed.* **2009**, *48*, 973.

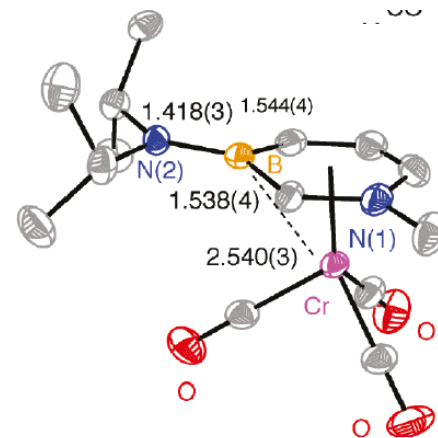
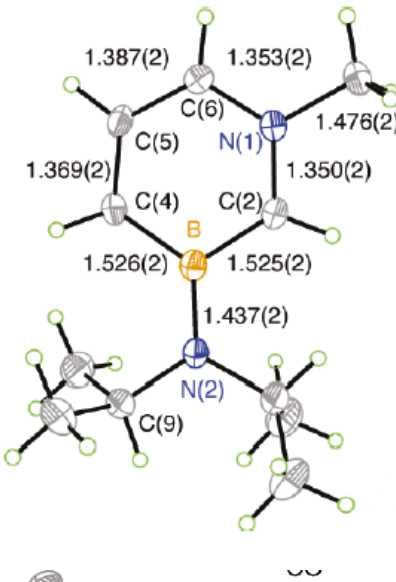
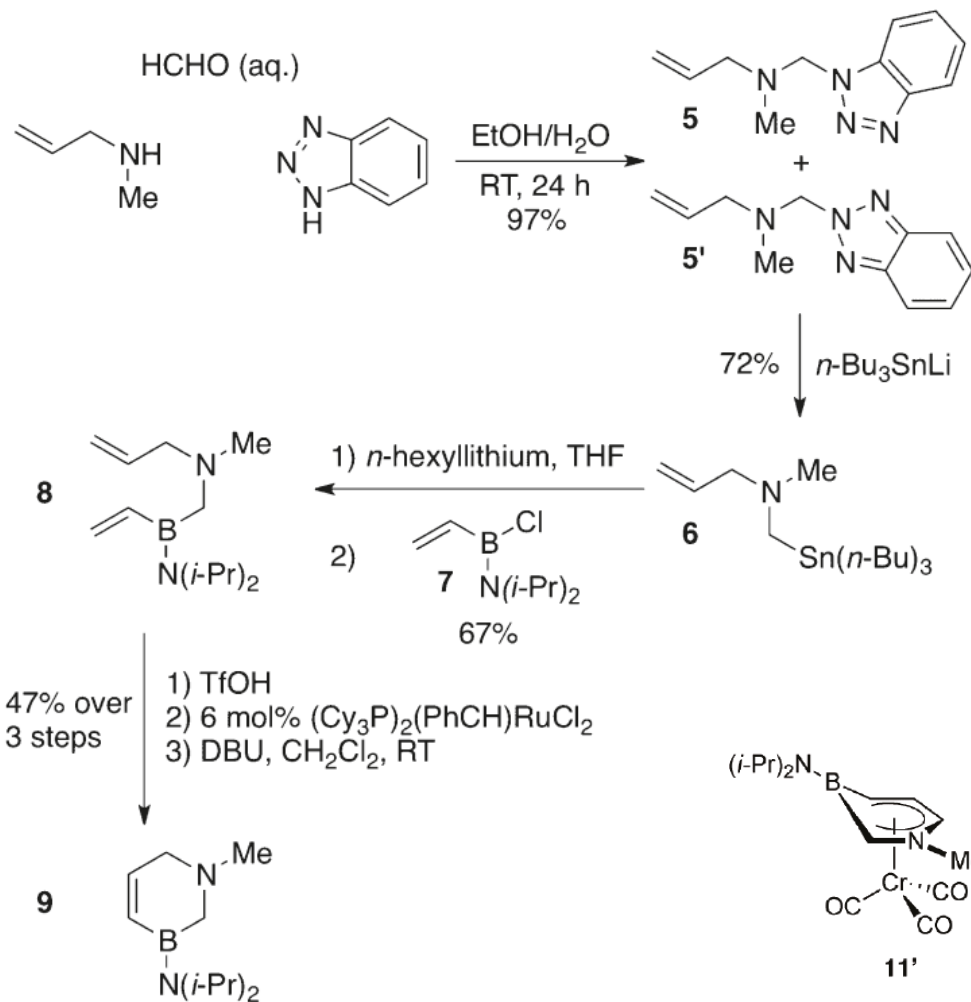
# Konstitutionsisomere des Azaborins

- 1,2-Isomer thermodynamisch am stabilsten
- $1,2 > 1,4 > 1,3$



thermodynamische Stabilität

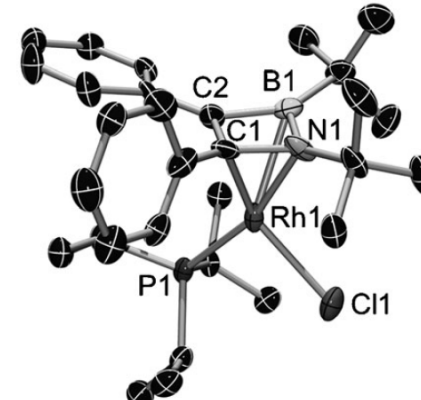
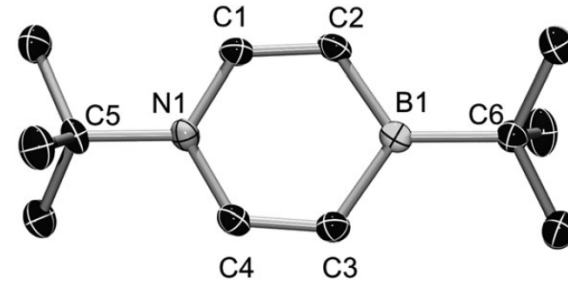
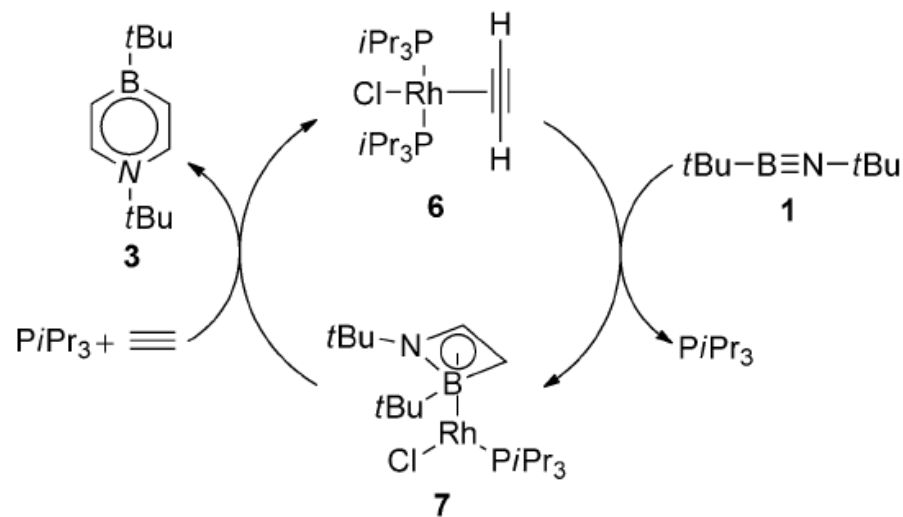
# Das 1,3-Azaborin



S. Xu, L. N. Zakharov, S.-Y. Liu, *J. Am. Chem. Soc.* **2011**, 133, 20152

# Das 1,4-Azaborin

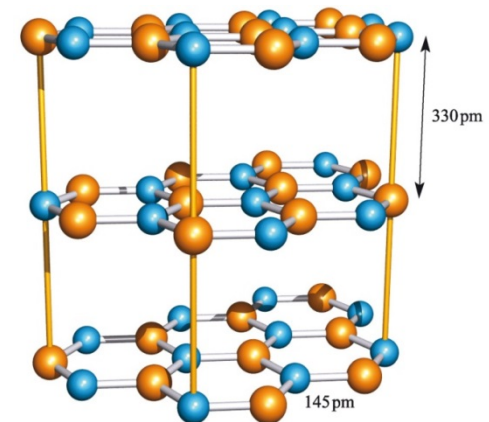
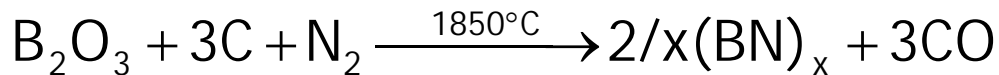
- Braunschweig et al. 2012 – [2+2+2]-Zyklisierung an 14e-Rhodium-Komplexen
- Stabiles Iminoboran  $t\text{Bu-NB-}t\text{Bu}$  und Acetylen als Edukt



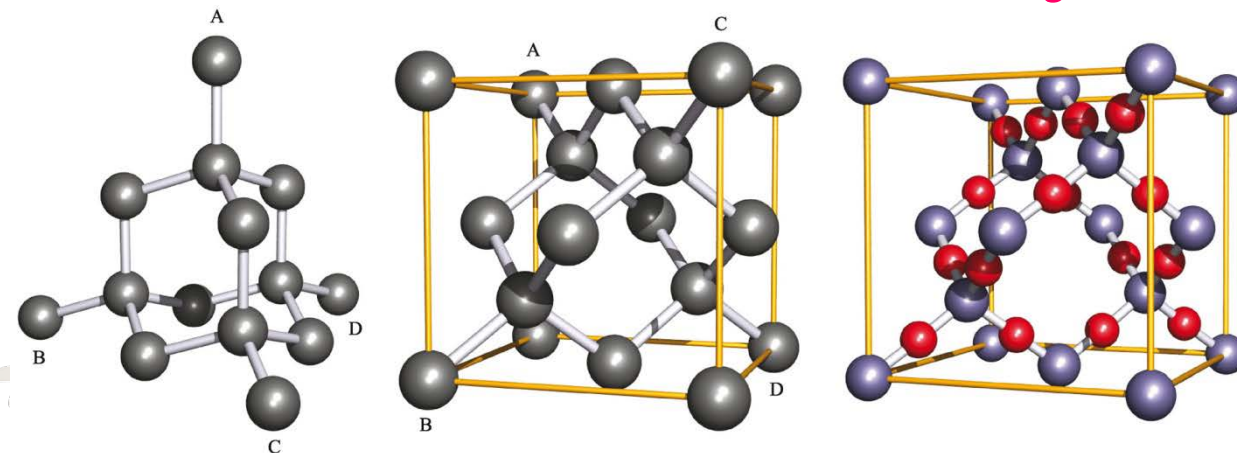
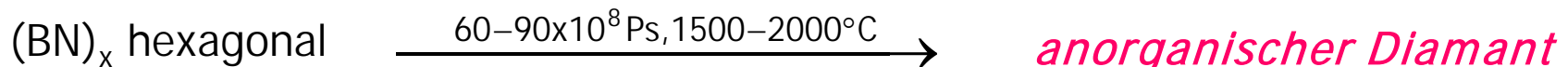
H. Braunschweig, A. Damme, J. O. C. Jimenez-Halla, B. Pfaffinger, K. Radacki, J. Wolf, *Angew. Chem.* **2012**, *124*, 10177.

# Weitere Analogien - Bornitrid

Bornitrid (**Graphit** analog):

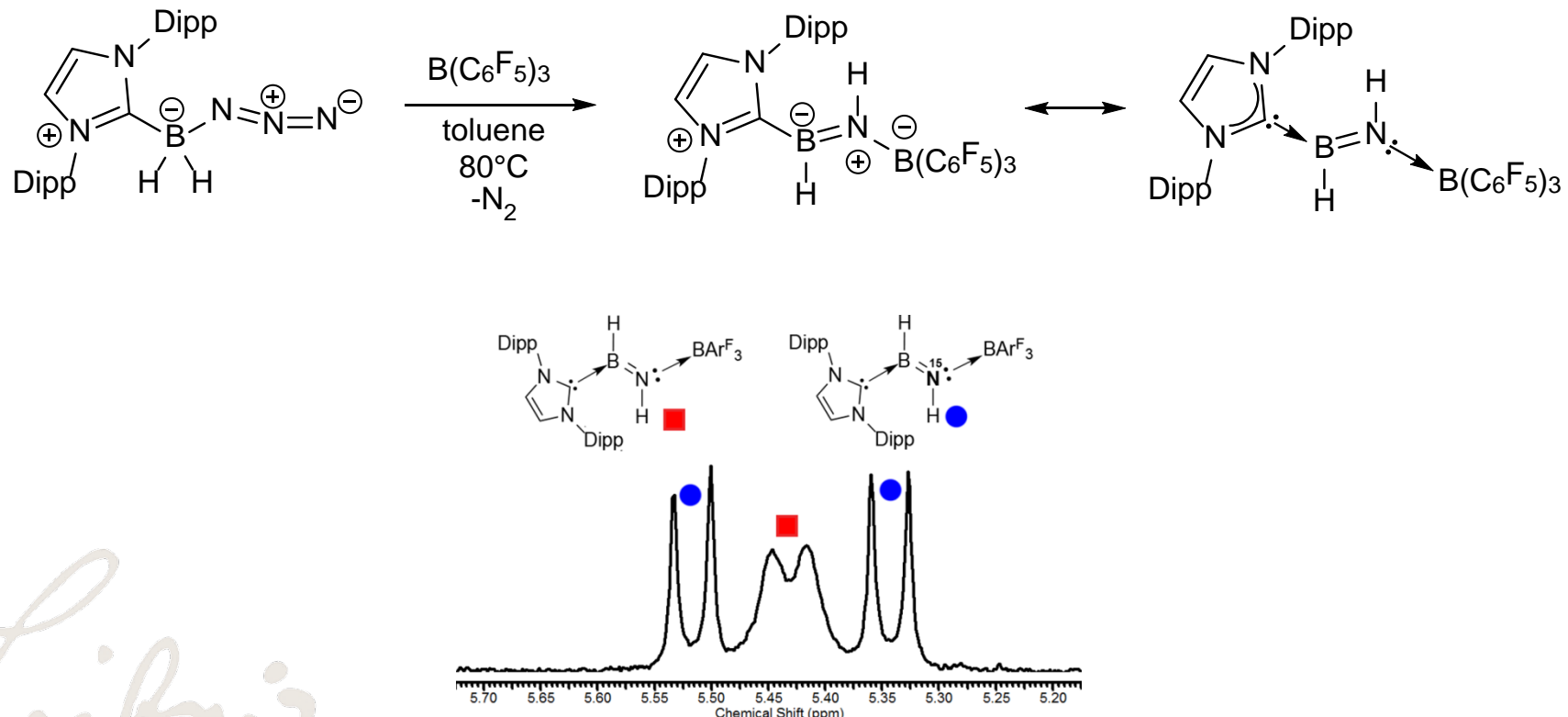


Graphit/Diamant Analogie:



# Molekulare Prekusoren für BN?

- Stabilisierung von anorganischem Acetylen ( $\text{HN}=\text{B}(\text{C}_6\text{F}_5)_3$ ) zwischen Carben ( $\text{IPr}$ ) und LS  $\text{B}(\text{C}_6\text{F}_5)_3$



A. K. Swarnakar, C. Hering-Junghans, K. Nagata, M. J. Ferguson, R. McDonald, N. Tokitoh, E. Rivard, *Angew. Chem. Int. Ed.* **2015**, *54*, 10666.

# Borane $B_nH_m$ , Hydroborat-Anionen (Boranate), Carbaborane und Carbaborat-Anionen ( $BH^-$ ersetzt durch $CH$ )

**Begründer:**

Alfred Stock (1912-1936)

**Bindungseigenschaften:**

W. N. Lipscomb 1976 Nobelpreis

**Literatur:**

L. Muetterties, *Boron Hydrogen Chemistry*, Academic Press, London, New York, 1975

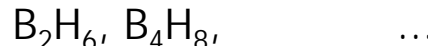
R. Köster, M. A. Grassberger, *Angew. Chemie*, **1967**, 79, 197.

W. N. Lipscomb, *Angew. Chemie*, **1977**, 89, 685.

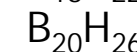
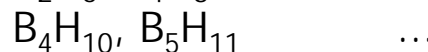
4 allgemeine Bruttoformel:

$B_nH_{n+2}$	$B_nH_{n+4}$	$B_nH_{n+6}$	$B_nH_{n+8}$
<b>creso</b>	<b>nido</b>	<b>arachno</b>	<b>hypho</b>
Käfig	-1 Ecke	-2 Ecken	-3 Ecken

Beispiel für  $B_nH_{n+4}$ :



Beispiel für  $B_nH_{n+6}$ :



- elektronen Mangelverbindungen

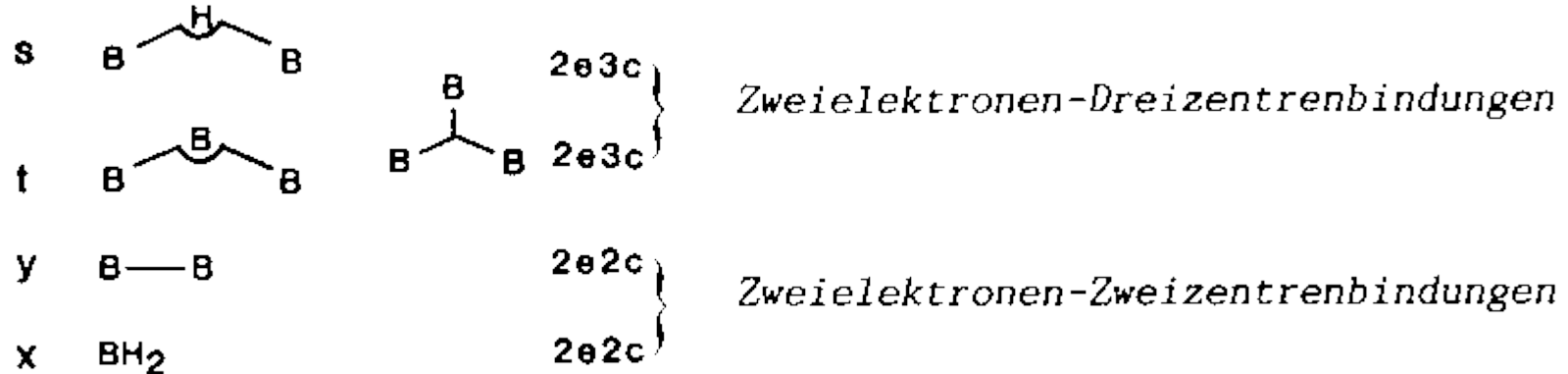
- stark endotherme Verbindungen:  $B_2H_6 + 3 O_2 \rightarrow B_2O_3 + 3 H_2O \Delta H^\circ(298) = -2138 \text{ KJ/mol}$

- Nomenklatur:

$BH_3$ : Boran (3);  $B_2H_6$ : Diboran (6);  $B_4H_{10}$ : Tetraboran (10)

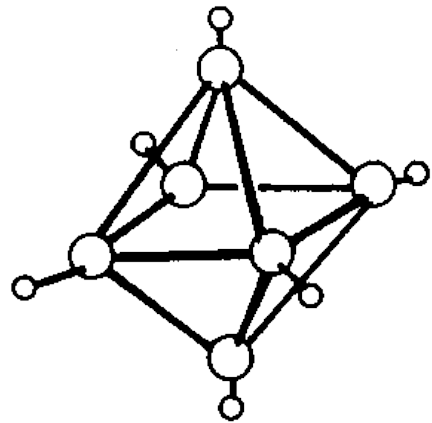
# Mehrzentrenbindungen in Boranen

- In Boranen (auch C-substituierten) liegen immer mehr Gerüstverbindungslien als Elektronenpaare vor (LIPSCOMB)
- Styx - Code



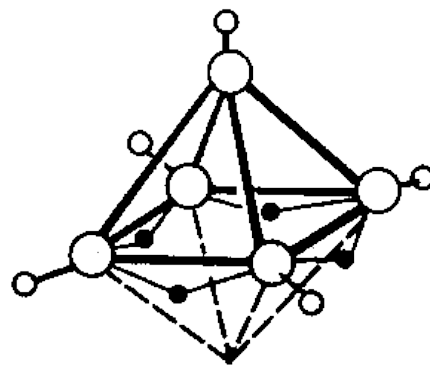
z.B. B<sub>2</sub>H<sub>6</sub> styx code = 2002

# Borhydride – Eine Wiederholung



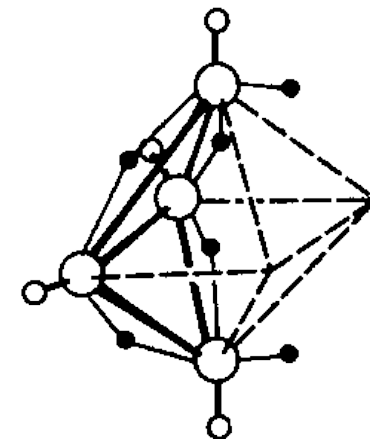
$2n+2$

*creso* ( $\text{B}_6\text{H}_6^{2-}$ )  
( $\text{B}_4\text{H}_{10}$ )



$2n+4$

*nido* ( $\text{B}_5\text{H}_9$ )



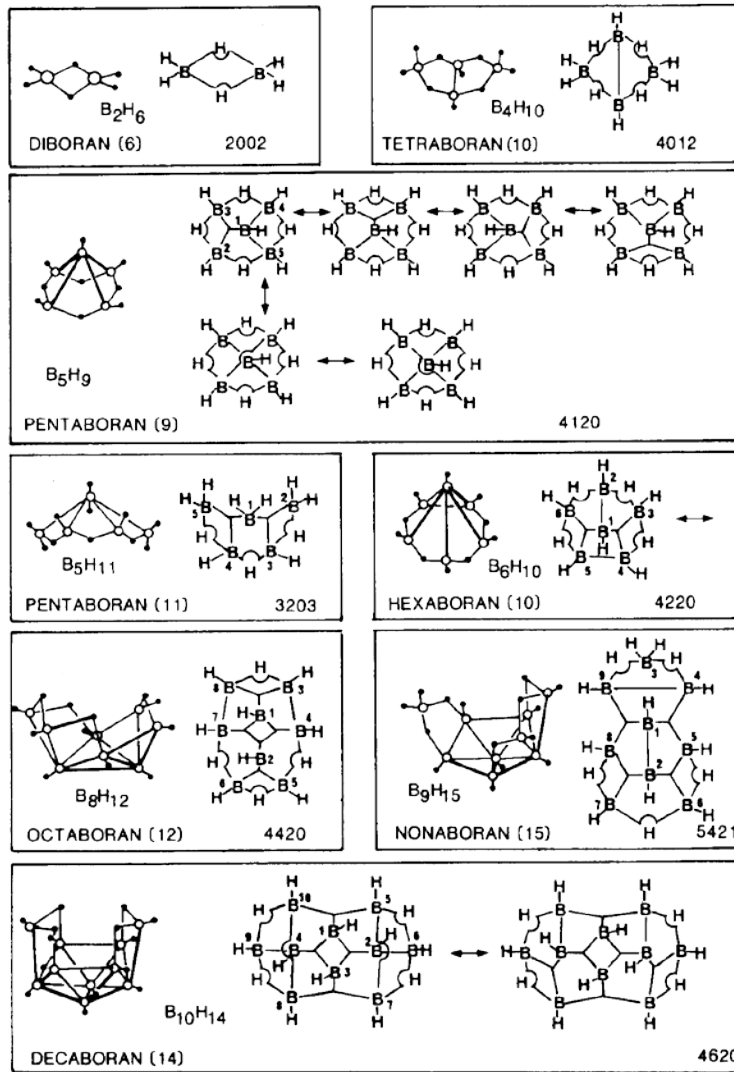
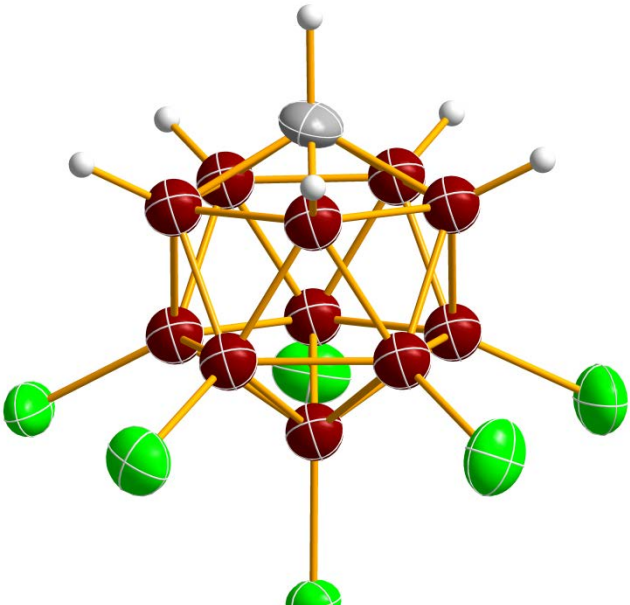
$2n+6$   
Gerüstelektronen

*arachno*

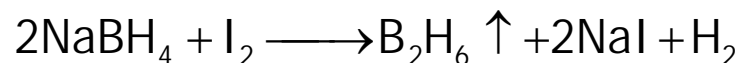
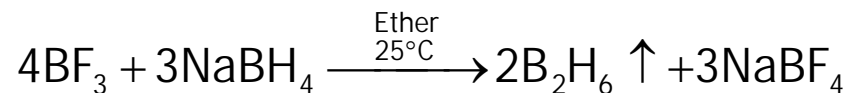
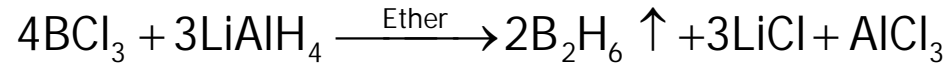
- Erste Ergebnisse von A. Stock (1876-1946)
- WADE'schen Regeln: Anzahl der Gerüstelektronen = Summe der Valenzelektronen der (Bor-)Gerüstatome + Valenzelektronen der H-Atome + Anzahl der Elektronenladungen - zwei Elektronen pro Hauptgruppen-Gerüstatom bzw. zwölf pro Nebengruppen-Gerüstatom.

# Borhydride – Eine Wiederholung

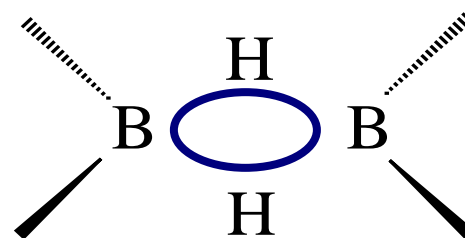
Sehr gute schwachkoordinierende Anionen! Z.B.  $[\text{HCB}_{11}\text{H}_5\text{Cl}_6]^-$



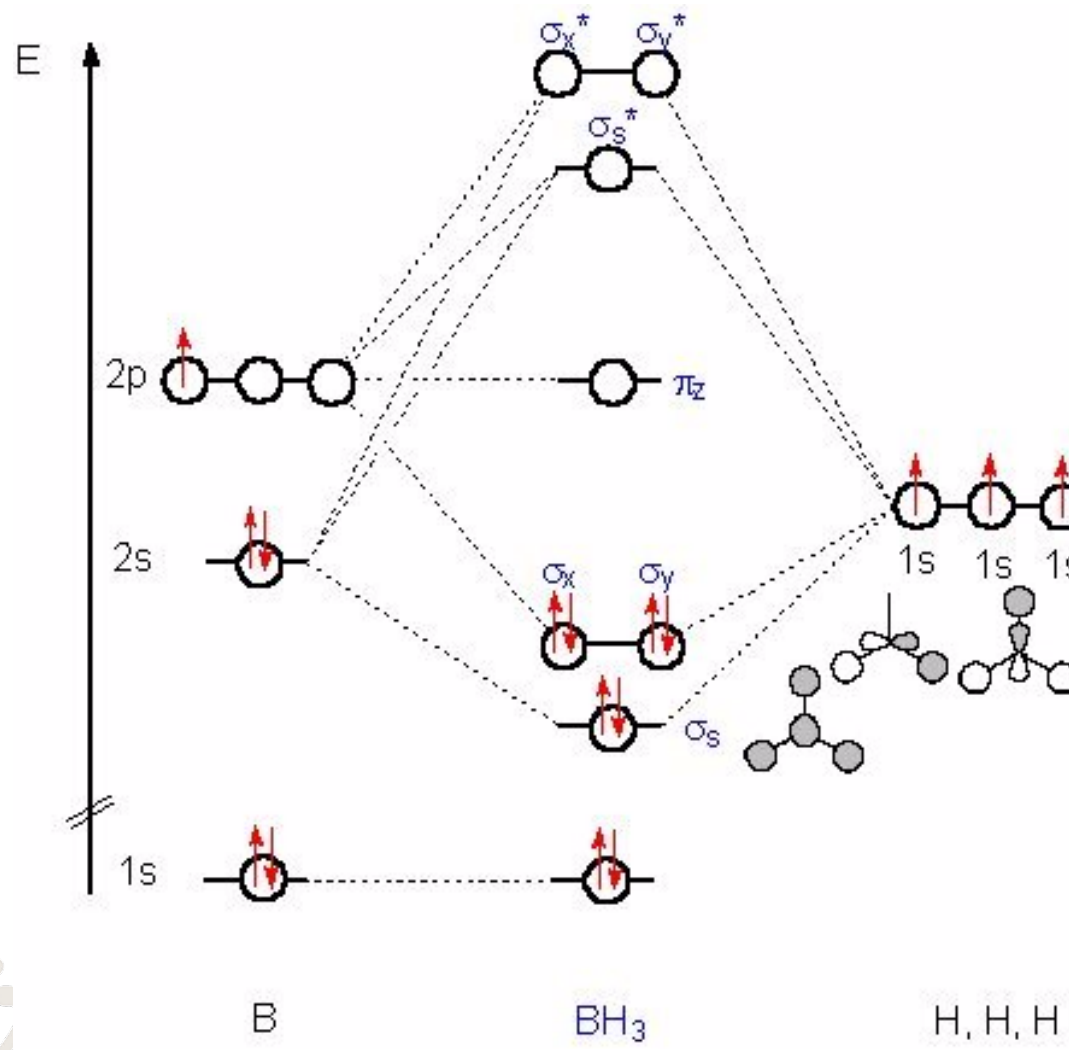
## Synthese



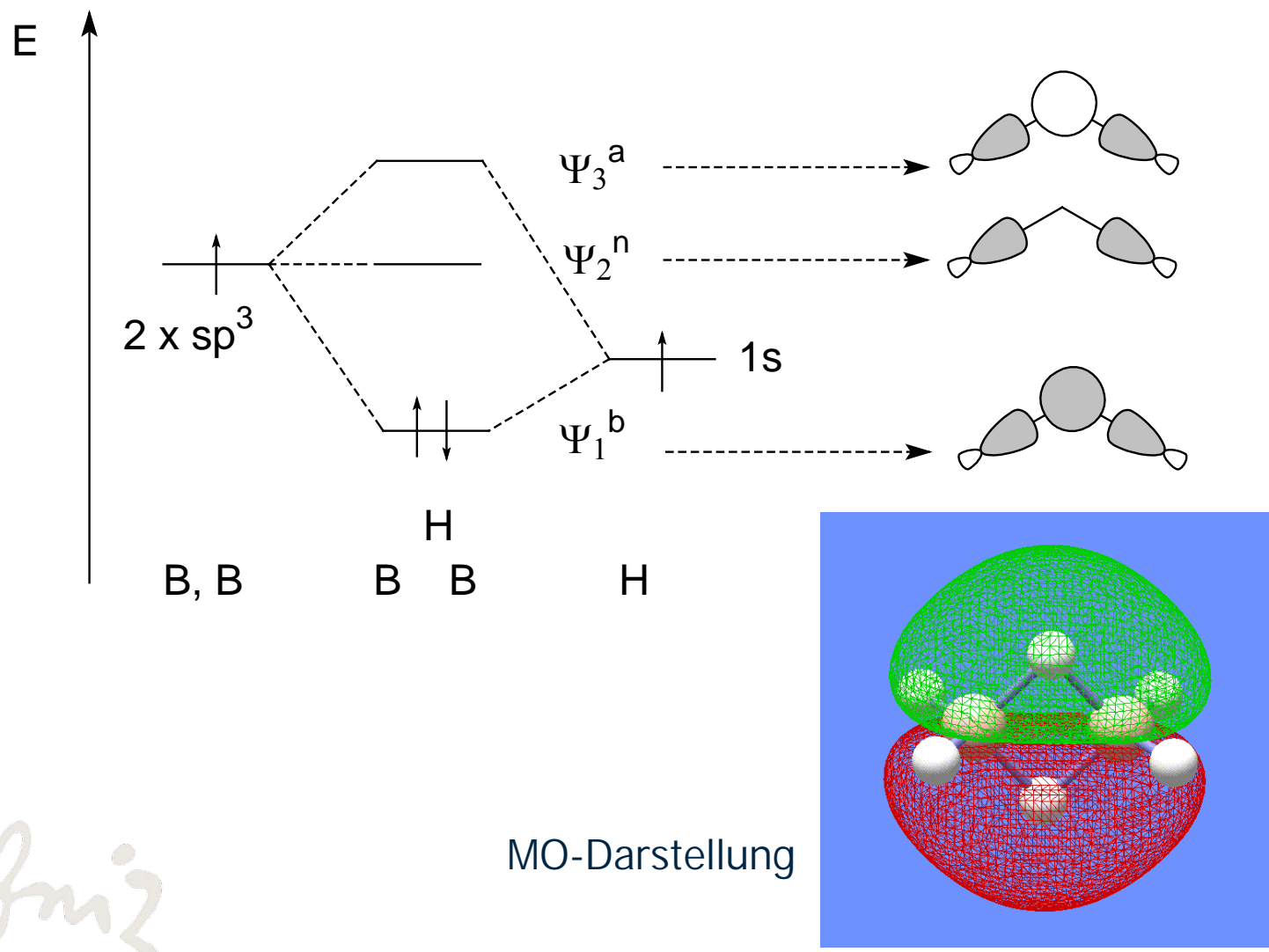
## Gleichgewicht:



# MO-Diagramm unter Verwendung delokalizierter MO's



# Die Dreizentrenbindung im Diboran



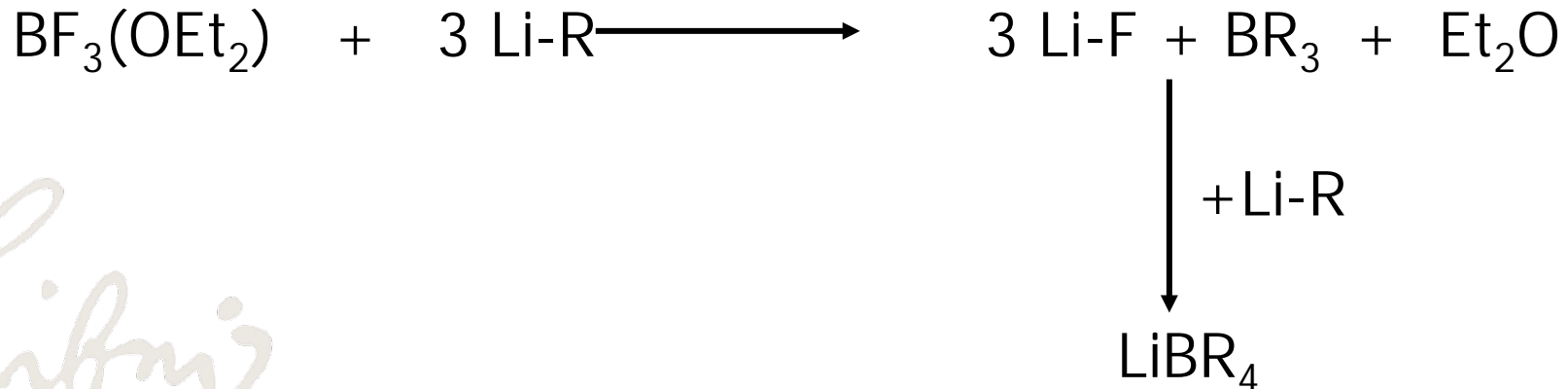
# B-C Verbindungen: Synthese

$\text{BR}_3$

$$\begin{aligned}E_{\text{Diss}}(\text{B-F}) &= 646 \text{ kJ/mol} \\E_{\text{Diss}}(\text{B-O}) &= 526 \text{ kJ/mol} \\E_{\text{Diss}}(\text{B-N}) &= 500 \text{ kJ/mol} \\E_{\text{Diss}}(\text{B-H}) &= 372 \text{ kJ/mol} \\E_{\text{Diss}}(\text{B-C}) &= 352 \text{ kJ/mol} \\E_{\text{Diss}}(\text{C-C}) &= 345 \text{ kJ/mol} \\E_{\text{Diss}}(\text{B-B}) &= 310 \text{ kJ/mol}\end{aligned}$$

## Synthese

### 1.) Metathese



# Darstellung

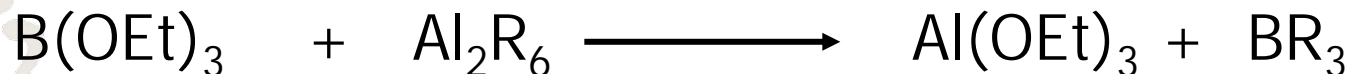
besser:



R = -Alkyl, -Aryl, -C<sub>6</sub>F<sub>5</sub>

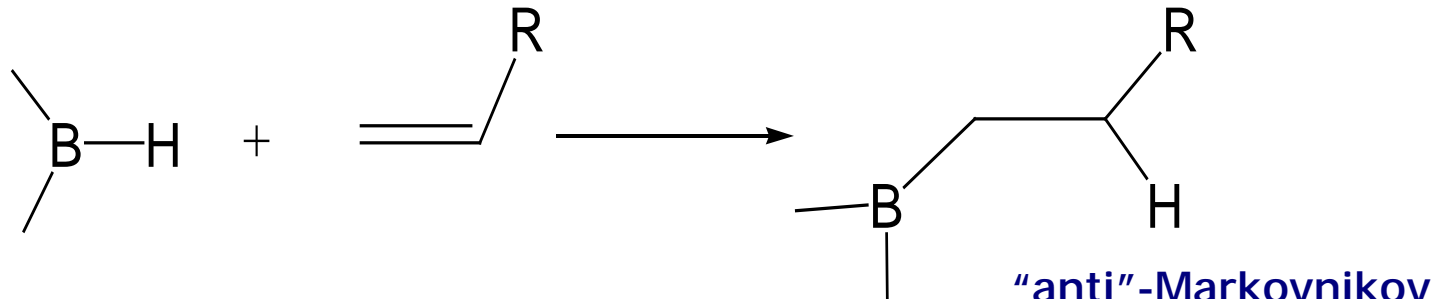
Auf genaue Stöchiometrie achten, da sonst  
“at”-Bildung

im Gegensatz:

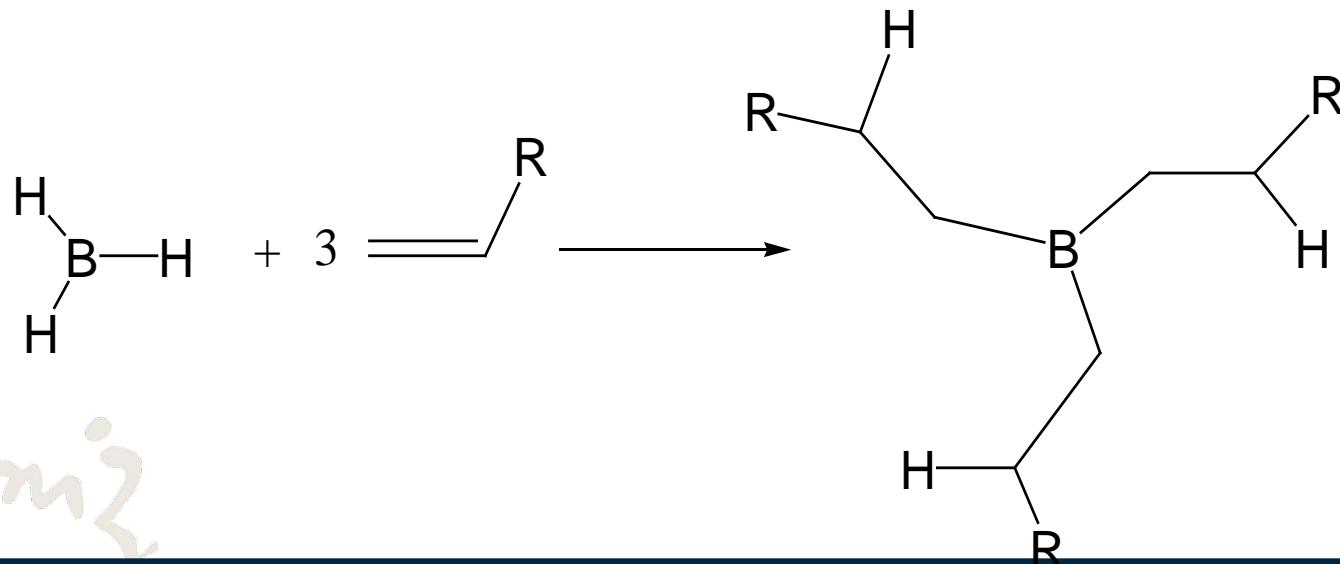


# Darstellung

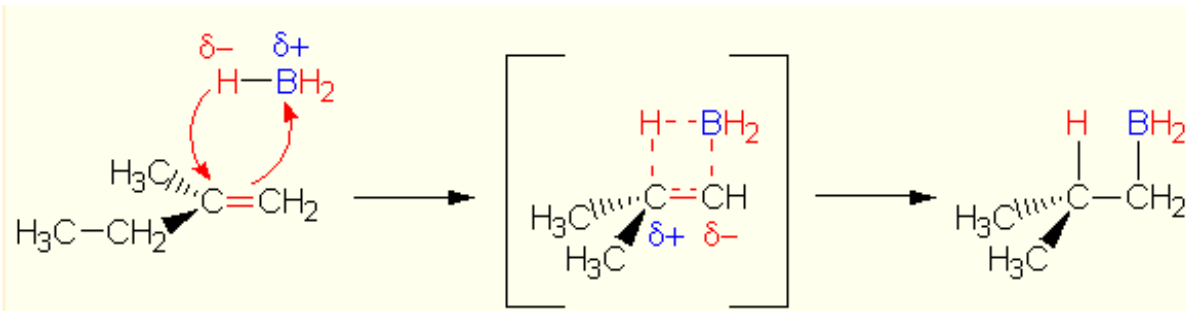
2.) Hydroborierung (H. C. Brown, Nobelpreis 1979 (mit Wittig))



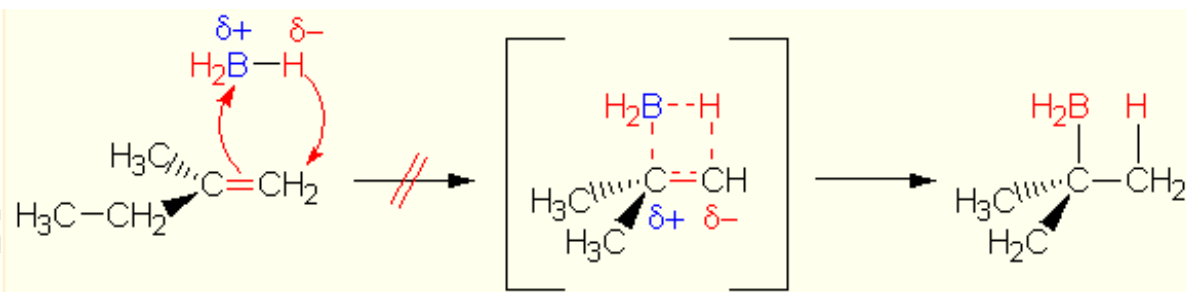
oder 3-fach



# anti-Markovnikov



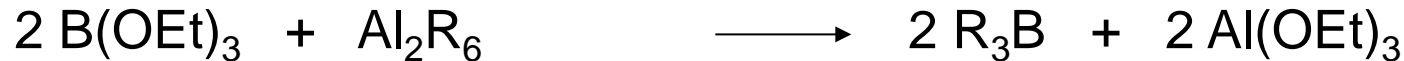
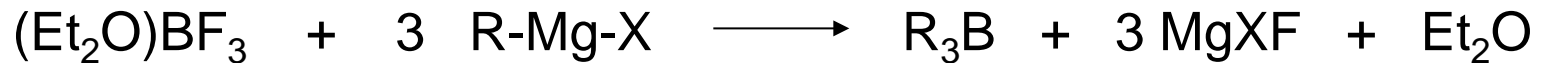
Beobachtetes  
Produkt



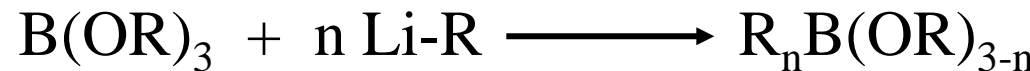
Nicht beobachtetes  
Produkt

### 3.) Darstellung mittels Grignard

## Binäre Verbindungen



## Metathese



Boronsäureester  
Borinsäureester